

Curvas e superfícies

Computação Gráfica

Curvas - realismo



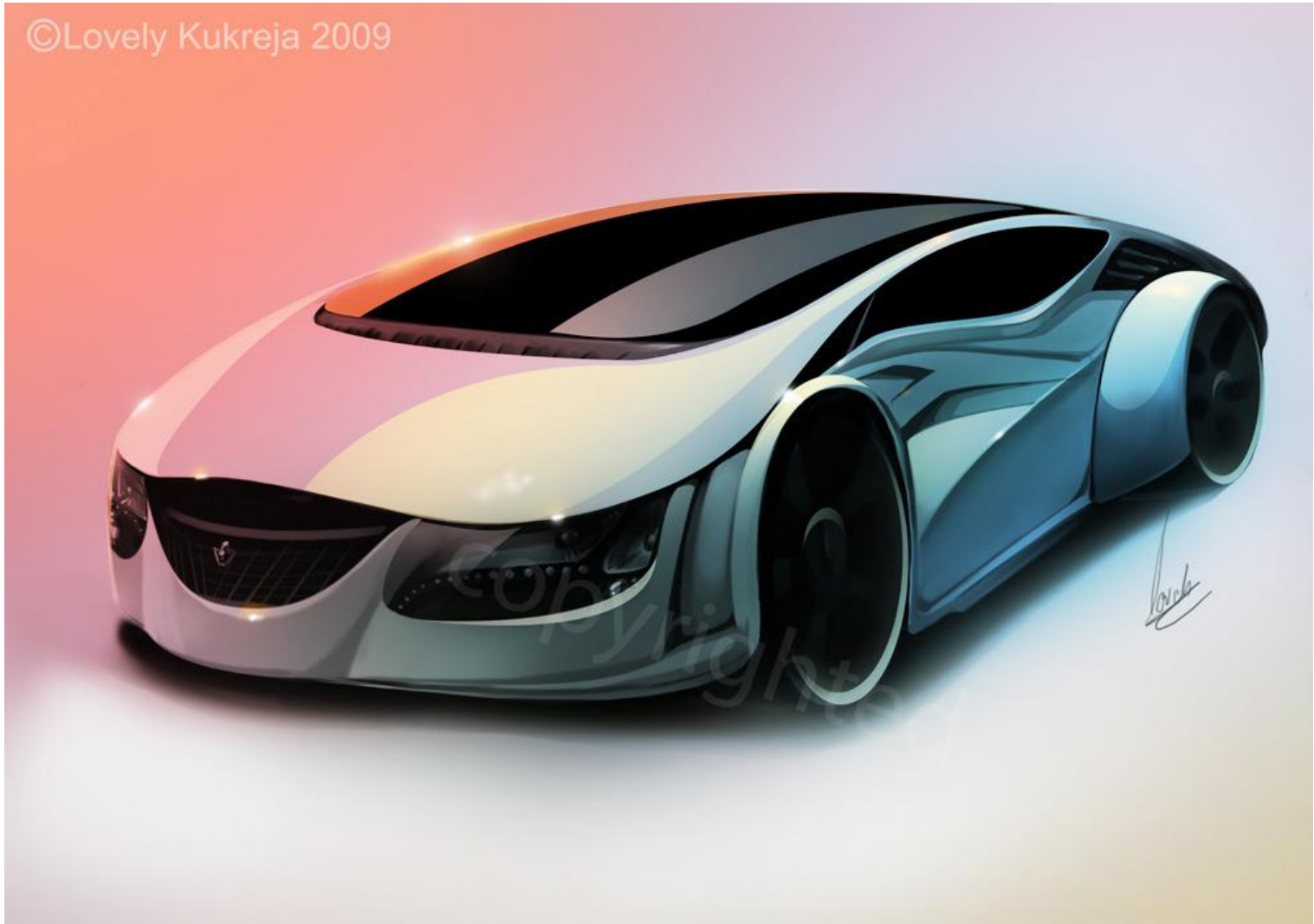
Curvas - realismo



Curvas - realismo



Curvas - realismo



Tópicos

- *Representações

 - *Pontos, Analíticas, paramétricas, não-paramétricas

- *Curvas

 - *Hermite

 - *Bézier

 - *Splines

 - *Curvas racionais

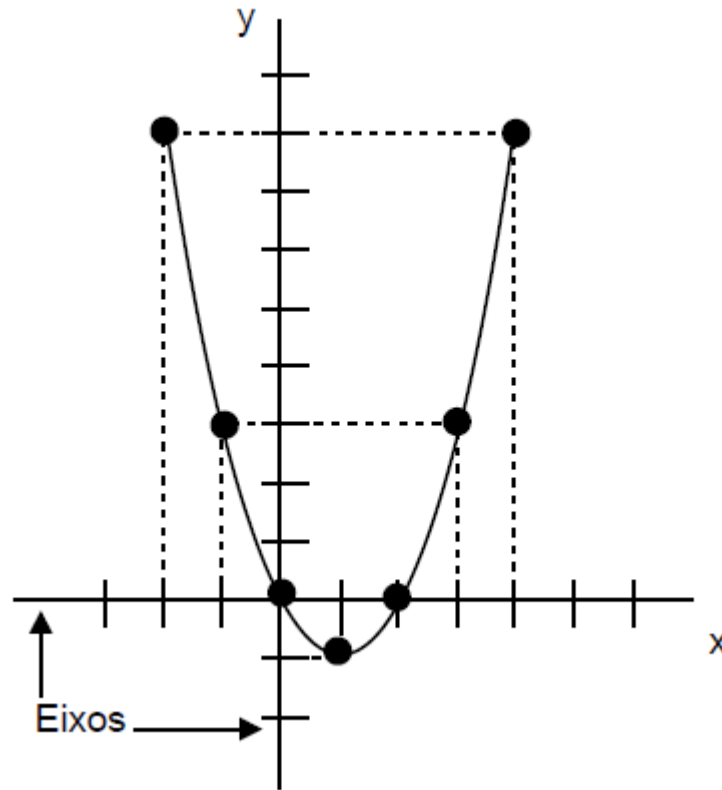
- *Superfícies

 - *Revolução, Deslocamento

 - *Hermite, Bézier, B-Spline

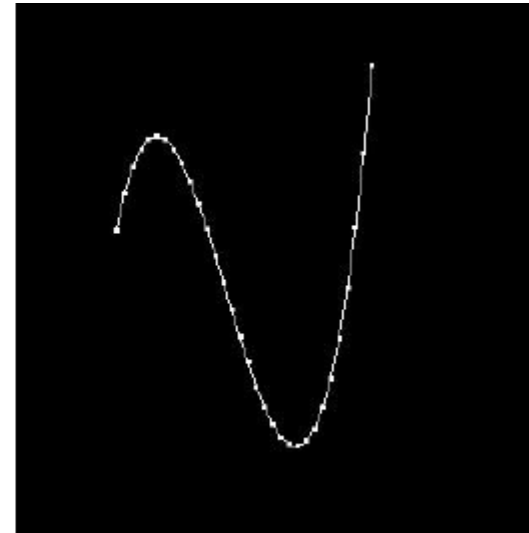
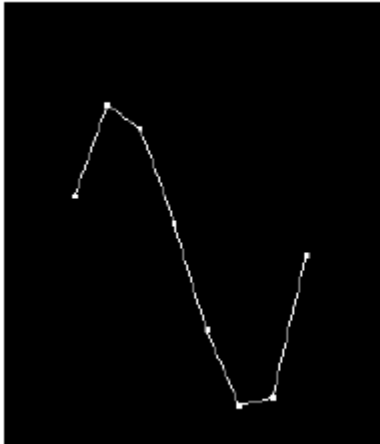
 - *NURBS e NURMS

Representação por pontos

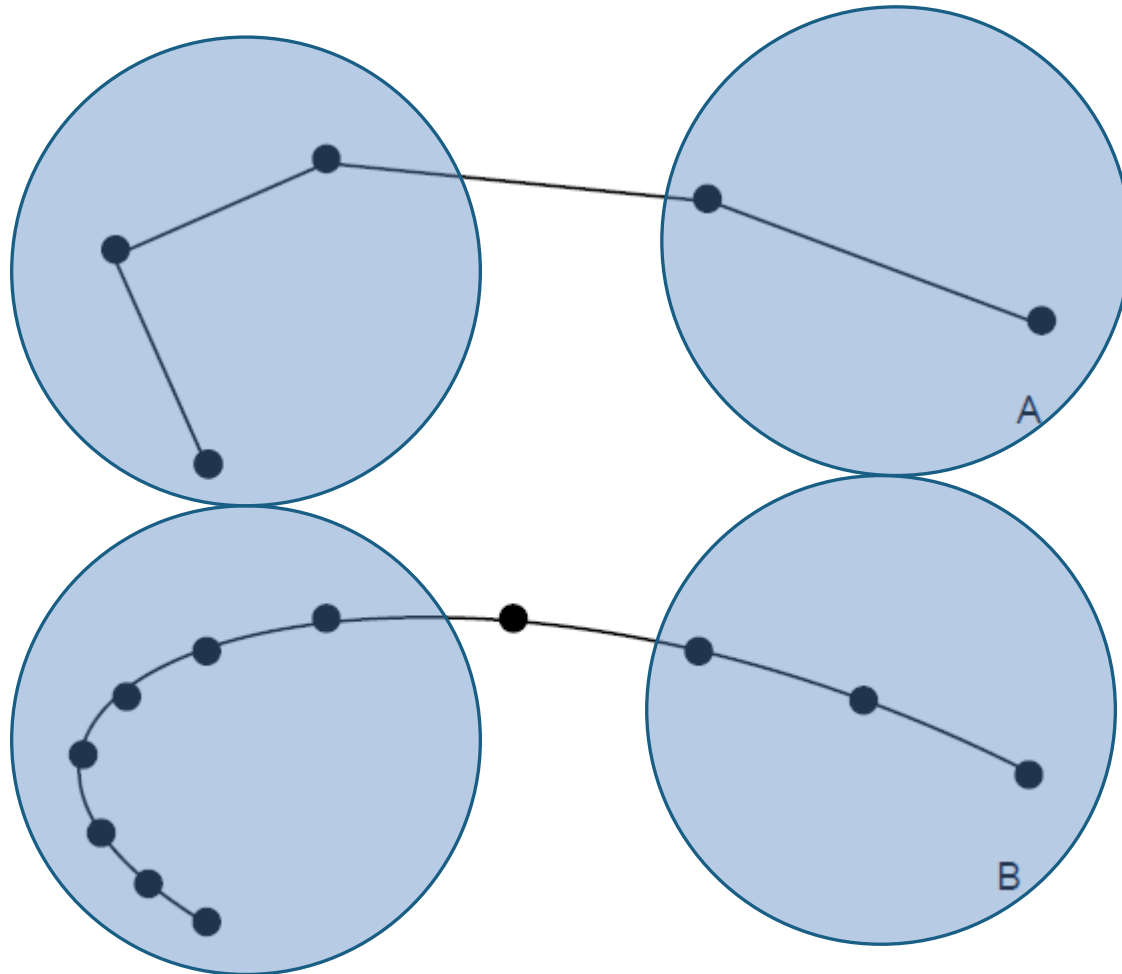


Representação por pontos

*Mais ou menos pontos dependendo da precisão desejada



Representação por pontos



Representação analítica

- *Uso de fórmulas matemáticas
- *Mais precisa
- *Compacta
- *Facilita o cálculo de novos pontos e de propriedades como área e inclinação
- *Não-paramétricas
 - *Explícitas
 - *implícitas
- *Paramétricas

Não-paramétricas

*X em função de Y e vice-versa

$$y = f_x(x) \text{ ou } x = f_y(y)$$

*Semicírculo

$$y = \sqrt{10^2 - x^2} \text{ ou } x = \sqrt{10^2 - y^2}$$

*Uma reta

$$y = 2x - 1 \text{ ou } x = \frac{1}{2}(y+1)$$

Não-paramétrica

*Explícita

$$y = ax^2 + bx + c$$

$$P(x) = a_n x^n + a_{n-1} x^{n-1} + \dots a_2 x^2 + a_1 x^1 + a_0$$

*Fáceis de combinar, derivar, integrar e calcular o valor em um ponto.

*Implícita

$$f(x, y) = 0$$

$$ax^2 + bxy + cy^2 + dx + ey + f = 0$$

Não-paramétrica implícita

$$\begin{cases} F_1(x, y, z) = 0 \\ F_2(x, y, z) = 0 \end{cases}$$



Círculo



Elipse



Parábola



Hipérbole



Retas

Representação paramétrica

- * $y = y(t)$

- * $x = x(t)$

- * $P(t) = (x(t), y(t))$

- *círculo

$$x = 10 \cos \theta = f_x(\theta)$$

$$y = 10 \sin \theta = f_y(\theta)$$

- *reta

$$x = t+1 = f_x(t)$$

$$y = 2t+1 = f_y(t)$$

Representação paramétrica

* $P(t) = (x(t), y(t))$

*Tangente:

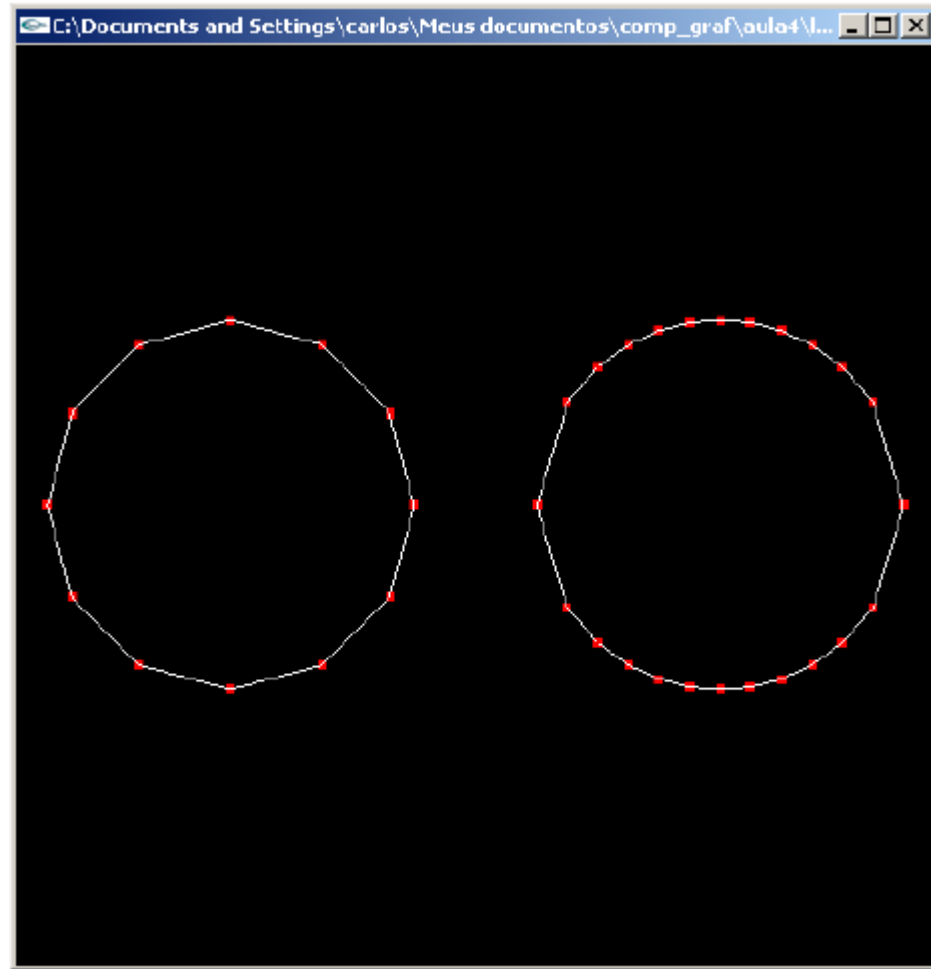
$$P'(t) = (x'(t), y'(t))$$

*Inclinação:

$$\frac{dy}{dx} = \frac{dy / dt}{dx / dt} = \frac{y'(t)}{x'(t)}$$

Cônica	Forma Paramétrica	Forma Implícita
Elipse	$x = a \cos \theta$ $y = b \sin \theta$	$\frac{x^2}{a^2} + \frac{y^2}{b^2} - 1 = 0$
Parábola	$x = at^2, y = 2at$	$y^2 - 4ax = 0$
Hipérbole	$x = a \cosh \theta$ $y = b \sinh \theta$	$\frac{x^2}{a^2} - \frac{y^2}{b^2} - 1 = 0$

Paramétricas e não para métricas



Hermite

*Charles Hermite (1822 - 1901)

*Polinômios de terceira ordem

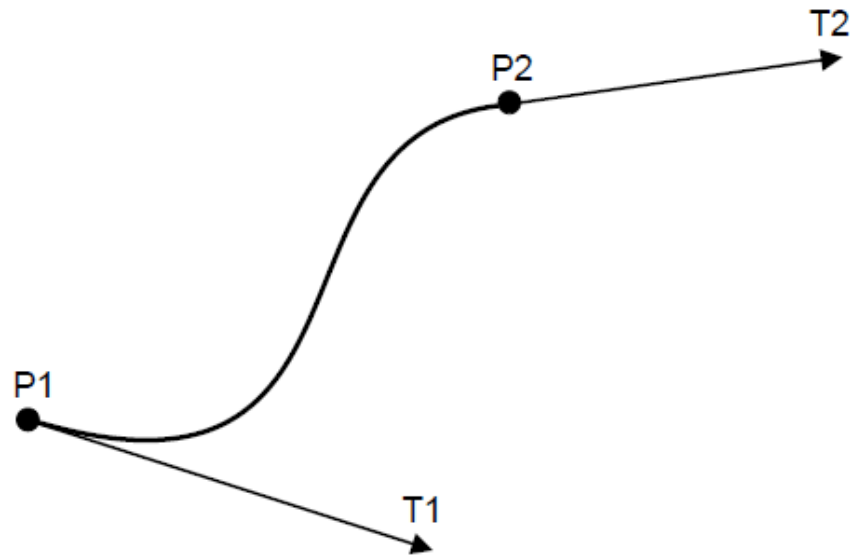
$$x(t) = P_x = a_x t^3 + b_x t^2 + c_x t + d_x$$

$$y(t) = P_y = a_y t^3 + b_y t^2 + c_y t + d_y$$

$$z(t) = P_z = a_z t^3 + b_z t^2 + c_z t + d_z$$

Hermite

- *Dois pontos (início e fim) $P1$ e $P2$
- *Dois vetores tangentes (Saída e chegada) $T1$ e $T2$
 - *Direção, sentido e magnitude



Hermite

$$\begin{aligned}x(t) &= P_x = a_x t^3 + b_x t^2 + c_x t + d_x \\y(t) &= P_y = a_y t^3 + b_y t^2 + c_y t + d_y \\z(t) &= P_z = a_z t^3 + b_z t^2 + c_z t + d_z\end{aligned}$$

$$x(t) = [t^3 \ t^2 \ t^1 \ 1] \begin{bmatrix} a_x \\ b_x \\ c_x \\ d_x \end{bmatrix} = T \ C_x$$

$$y(t) = [t^3 \ t^2 \ t^1 \ 1] \begin{bmatrix} a_y \\ b_y \\ c_y \\ d_y \end{bmatrix} = T \ C_y$$

$$z(t) = [t^3 \ t^2 \ t^1 \ 1] \begin{bmatrix} a_z \\ b_z \\ c_z \\ d_z \end{bmatrix} = T \ C_z$$

Hermite

*Para P_1 , $t=0$

$$P_{1_x} = [0 \ 0 \ 0 \ 1] C_x$$

$$P_{1_y} = [0 \ 0 \ 0 \ 1] C_y$$

$$P_{1_z} = [0 \ 0 \ 0 \ 1] C_z$$

$$*(P_{1_x}, P_{1_y}, P_{1_z}) = (d_x, d_y, d_z)$$

Hermite

*Para P2, t=1

$$x(1) = [1 \ 1 \ 1 \ 1] C_x$$

$$y(1) = [1 \ 1 \ 1 \ 1] C_y$$

$$z(1) = [1 \ 1 \ 1 \ 1] C_z$$

$$\begin{aligned} &*(P2_x, P2_y, P2_z) = (a_x + b_x + c_x + d_x, \\ &* \quad \quad \quad a_y + b_y + c_y + d_y, \\ &* \quad \quad \quad a_z + b_z + c_z + d_z) \end{aligned}$$

Hermite

*Para T1,

$$x'(t) = P'_x = 3a_x t^2 + 2b_x t + c_x$$

$$y'(t) = P'_y = 3a_y t^2 + 2b_y t + c_y$$

$$z'(t) = P'_z = 3a_z t^2 + 2b_z t + c_z$$

$$x'(t) = P'_x = [3t^2 \ 2t \ 1 \ 0]C_x$$

$$y'(t) = P'_y = [3t^2 \ 2t \ 1 \ 0]C_y$$

$$z'(t) = P'_z = [3t^2 \ 2t \ 1 \ 0]C_z$$

$$x'(0) = T1_x = [0 \ 0 \ 1 \ 0]C_x = c_x$$

$$y'(0) = T1_y = [0 \ 0 \ 1 \ 0]C_y = c_y$$

$$z'(0) = T1_z = [0 \ 0 \ 1 \ 0]C_z = c_z$$

$$*(T1_x, T1_y, T1_z) = (c_x, c_y, c_z)$$

Hermite

*Para T2,

$$x'(1) = T2_x = [3 \ 2 \ 1 \ 0]C_x$$

$$y'(1) = T2_y = [3 \ 2 \ 1 \ 0]C_y$$

$$z'(1) = T2_z = [3 \ 2 \ 1 \ 0]C_z$$

$$\begin{aligned} &*(T2_x, T2_y, T2_z) = (3a_x + 2b_x + c_x, \\ &* \quad \quad \quad 3a_y + 2b_y + c_y, \\ &* \quad \quad \quad 3a_z + 2b_z + c_z) \end{aligned}$$

Hermite

$$Pl_x = [0 \ 0 \ 0 \ 1] C_x$$

$$Pl_y = [0 \ 0 \ 0 \ 1] C_y$$

$$Pl_z = [0 \ 0 \ 0 \ 1] C_z$$

$$x(1) = [1 \ 1 \ 1 \ 1] C_x$$

$$y(1) = [1 \ 1 \ 1 \ 1] C_y$$

$$z(1) = [1 \ 1 \ 1 \ 1] C_z$$

$$x'(0) = Tl_x = [0 \ 0 \ 1 \ 0] C_x = c_x$$

$$y'(0) = Tl_y = [0 \ 0 \ 1 \ 0] C_y = c_y$$

$$z'(0) = Tl_z = [0 \ 0 \ 1 \ 0] C_z = c_z$$

$$x'(1) = T2_x = [3 \ 2 \ 1 \ 0] C_x$$

$$y'(1) = T2_y = [3 \ 2 \ 1 \ 0] C_y$$

$$z'(1) = T2_z = [3 \ 2 \ 1 \ 0] C_z$$

$$\begin{bmatrix} P1 \\ P2 \\ T1 \\ T2 \end{bmatrix}_x = \begin{bmatrix} 0 & 0 & 0 & 1 \\ 1 & 1 & 1 & 1 \\ 0 & 0 & 1 & 0 \\ 3 & 2 & 1 & 0 \end{bmatrix} C_x = H^{-1} C_x$$

Hermite

$$\begin{bmatrix} P1 \\ P2 \\ T1 \\ T2 \end{bmatrix}_x = \begin{bmatrix} 0 & 0 & 0 & 1 \\ 1 & 1 & 1 & 1 \\ 0 & 0 & 1 & 0 \\ 3 & 2 & 1 & 0 \end{bmatrix} C_x = H^{-1} C_x$$

$$C_x = H H^{-1} C_x = H \begin{bmatrix} P1 \\ P2 \\ T1 \\ T2 \end{bmatrix}_x$$

$$H = \begin{bmatrix} 2 & -2 & 1 & 1 \\ -3 & 3 & -2 & -1 \\ 0 & 0 & 1 & 0 \\ 1 & 0 & 0 & 0 \end{bmatrix}$$

Hermite

$$x(t) = TC_x = TH \begin{bmatrix} P1 \\ P2 \\ T1 \\ T2 \end{bmatrix}_x = THG_x$$

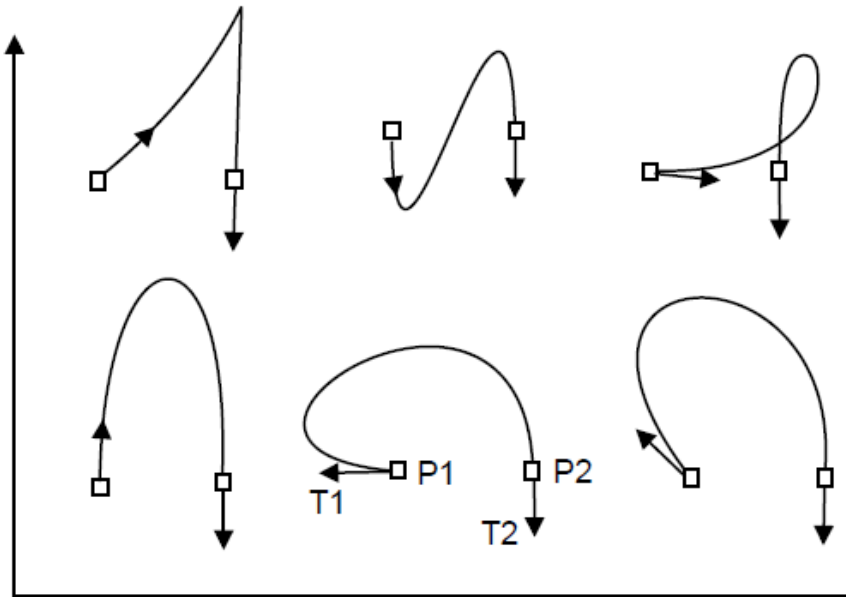
$$G_h = \begin{bmatrix} P1_x & P1_y & P1_z \\ P2_x & P2_y & P2_z \\ T1_x & T1_y & T1_z \\ T2_x & T2_y & T2_z \end{bmatrix}$$

$$y(t) = TC_y = TH \begin{bmatrix} P1 \\ P2 \\ T1 \\ T2 \end{bmatrix}_y = THG_y$$

$$z(t) = TC_z = TH \begin{bmatrix} P1 \\ P2 \\ T1 \\ T2 \end{bmatrix}_z = THG_z$$

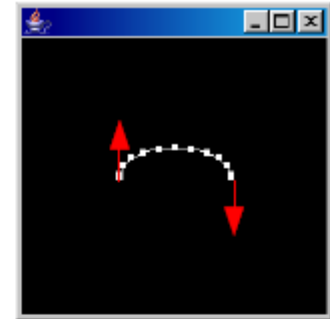
Hermite

$$P(t) = ((2t^3 - 3t^2 + 1), (-2t^3 + 3t^2), (t^3 - 2t^2 + t), (t^3 - t^2)) \begin{bmatrix} P1 \\ P2 \\ T1 \\ T2 \end{bmatrix}$$

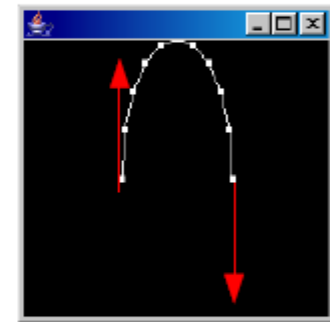


Hermite

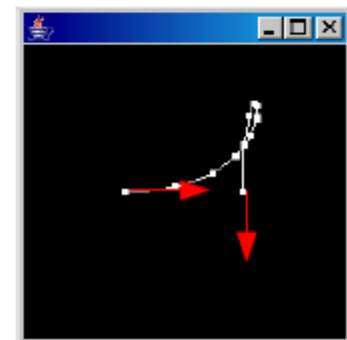
$P1=(-1,0)$, $P2=(1,0)$, $T1=(0,2)$, $T2=(0,-2)$



$P1=(-1,0)$, $P2=(1,0)$, $T1=(0,10)$, $T2=(0,-10)$



$P1=(-1,0)$, $P2=(1,0)$, $T1=(10,0)$, $T2=(0,-10)$



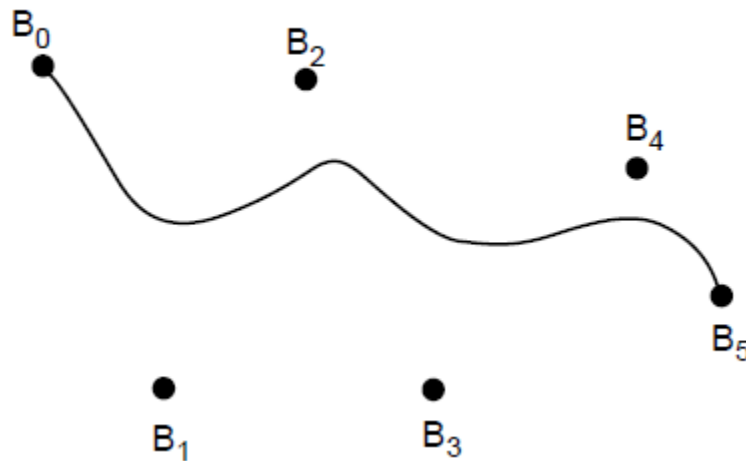
Bézier

- *Pierre Bézier

- *Renault

- *As tangentes das curvas são determinadas por pontos e não vetores

- *A curva fica completamente dentro do polígono convexo determinado pelos pontos de controle



Bézier

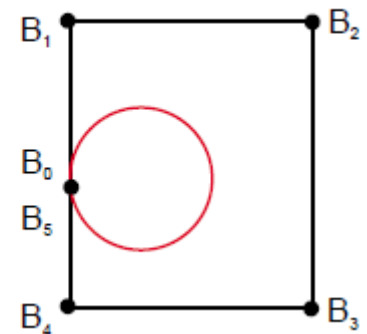
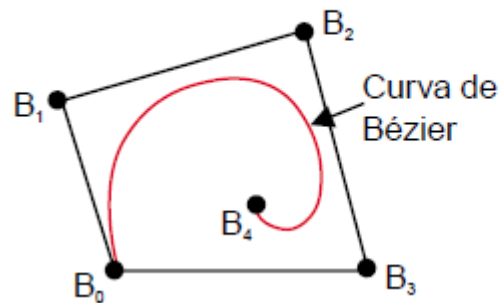
*Todos os **B** pontos influenciam toda a curva

$$P(t) = \sum_{i=0}^n B_i J_{n,i}(t) \quad 0 \leq t \leq 1$$

$$J_{n,i}(t) = \binom{n}{i} t^i (1-t)^{n-i}$$

*Propriedade normalizante

$$\sum_{i=0}^n J_{n,i}(t) = 1, \quad 0 \leq t \leq 1$$



Bézier

*Usando três pontos de controle (n=2)

$$P(t) = B_0 J_{2,0}(t) + B_1 J_{2,1}(t) + B_2 J_{2,2}(t)$$

$$J_{2,0} = \frac{2!}{0!2!} t^0 (1-t)^2 = (1-t)^2 = 1 - 2t + t^2$$

$$J_{2,1} = \frac{2!}{1!1!} t^1 (1-t)^1 = 2t(1-t) = 2t - 2t^2$$

$$J_{2,2} = \frac{2!}{2!0!} t^2 (1-t)^0 = t^2$$

Bézier

*Usando três pontos de controle (n=2)

$$P(t) = B_0 J_{2,0}(t) + B_1 J_{2,1}(t) + B_2 J_{2,2}(t)$$

$$P(t) = (1-t)^2 B_0 + 2t(1-t) B_1 + t^2 B_2$$

$$P(t) = \begin{bmatrix} (1-t)^2 & 2t(1-t) & t^2 \end{bmatrix} \begin{bmatrix} B_0 \\ B_1 \\ B_2 \end{bmatrix}$$

$$P(t) = \begin{bmatrix} t^2 & t & 1 \end{bmatrix} \begin{bmatrix} 1 & -2 & 1 \\ -2 & 2 & 0 \\ 1 & 0 & 0 \end{bmatrix} \begin{bmatrix} B_0 \\ B_1 \\ B_2 \end{bmatrix}$$

Bézier

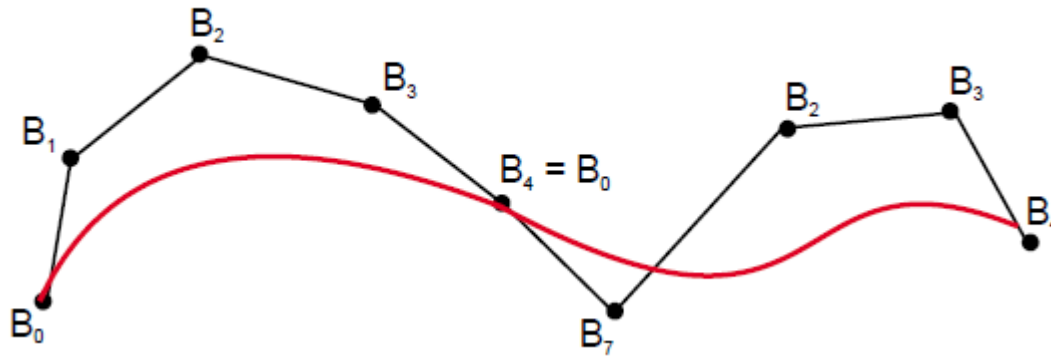
*Usando quatro pontos de controle (n=3)

$$P(t) = (1-t)^3 B_0 + 3t(1-t)^2 B_1 + 3t^2(1-t) B_2 + t^3 B_3$$

$$P(t) = \begin{bmatrix} t^3 & t^2 & t & 1 \end{bmatrix} \begin{bmatrix} -1 & 3 & -3 & 1 \\ 3 & -6 & 3 & 0 \\ -3 & 3 & 0 & 0 \\ 1 & 0 & 0 & 0 \end{bmatrix} \begin{bmatrix} B_0 \\ B_1 \\ B_2 \\ B_3 \end{bmatrix}$$

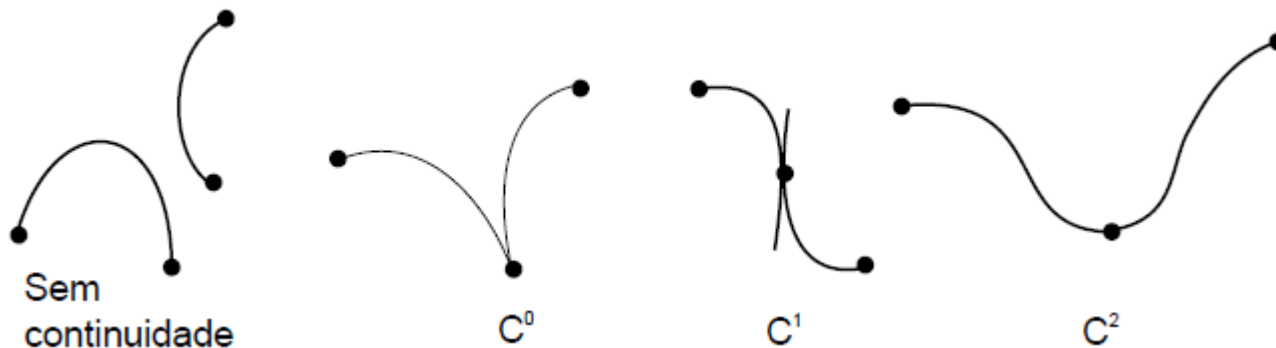
Bézier

- *Poucos pontos – difícil ajuste fino
- *Muitos pontos – funções muito complexas
- *Solução:
 - *Combinar curvas simples

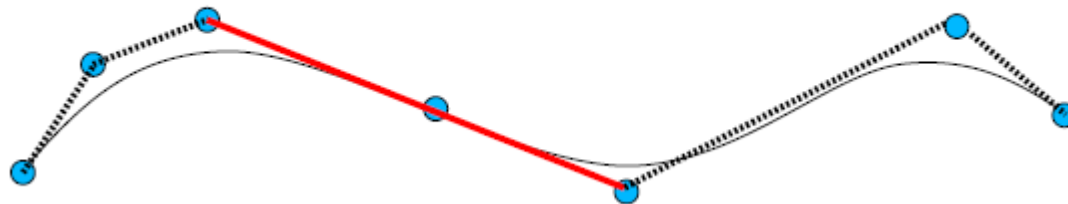


Continuidade de curvas

- *C0: Curvas se encontram
- *C1: Curvas se encontram e a primeira derivada é igual nesse ponto (mesma inclinação)
- *C2: Curvas se encontram e a segunda derivada é igual nesse ponto (mesma curvatura)



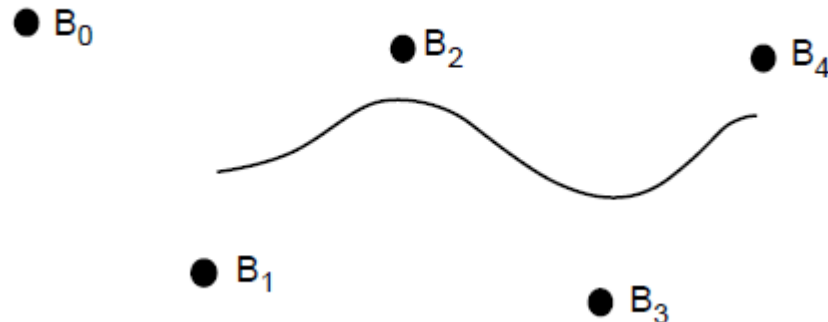
Continuidade de curvas



B-Spline

*Curva (geralmente) não passa pelos pontos de controle

*A não ser que seja uma reta



B-Spline

- *O parâmetro k altera a ordem do polinômio
- *k gera funções de ordem (k-1) e continuidade (k-2)

$$P(t) = \sum_{i=1}^{n+1} B_i N_{i,k}(t)$$

$$N_{i,1}(t) = \begin{cases} 1 & \text{para } t_i \leq t < t_{i+1} \\ 0 & \text{nos demais intervalos} \end{cases}$$

$$N_{i,k}(t) = \left(\frac{t - t_i}{t_{i+k-1} - t_i} \right) N_{i,k-1}(t) + \left(\frac{t_{i+k} - t}{t_{i+k} - t_{i+1}} \right) N_{i+1,k-1}(t)$$

B-Spline

- * $0/0=0$

- * Os valores de t , chamados de nós obedecem às seguintes condições:

 - * t deve estar em ordem ascendente

 - * Um mesmo valor de t não pode aparecer mais que k vezes.

- * Uma B-Spline tem

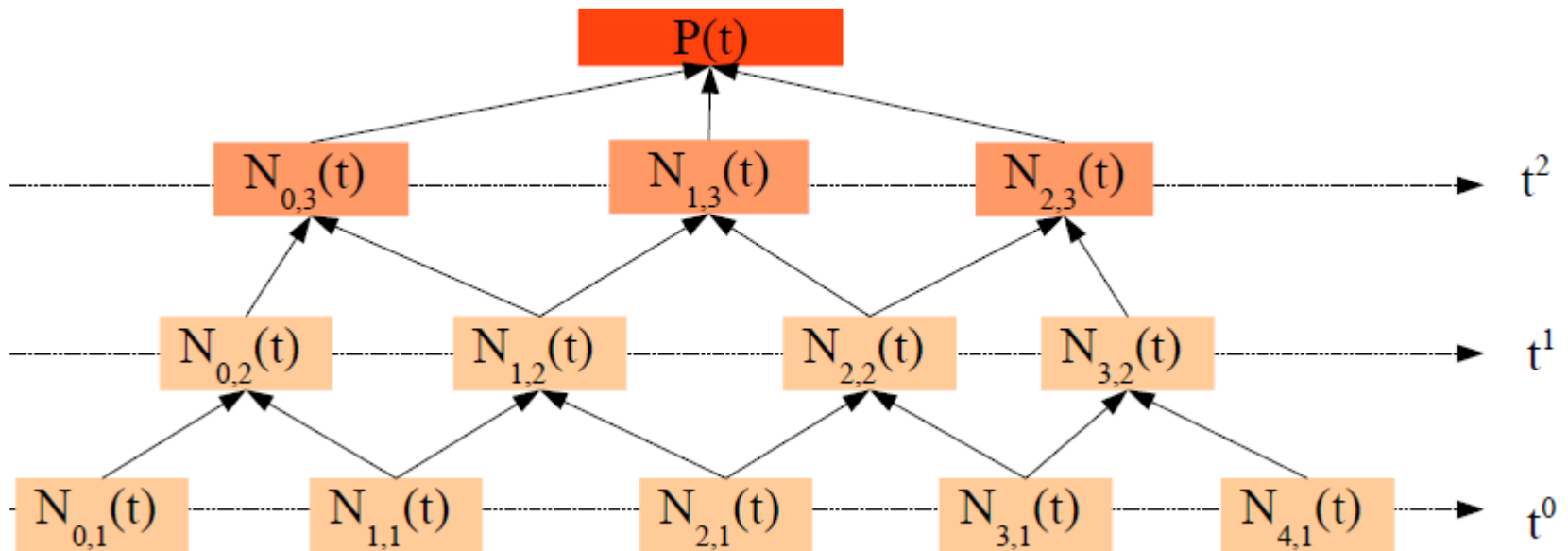
 - * $(n+1)$ pontos de controle B

 - * Grau $(k-1)$

 - * E m nós onde $m=n+k$

B-Splines

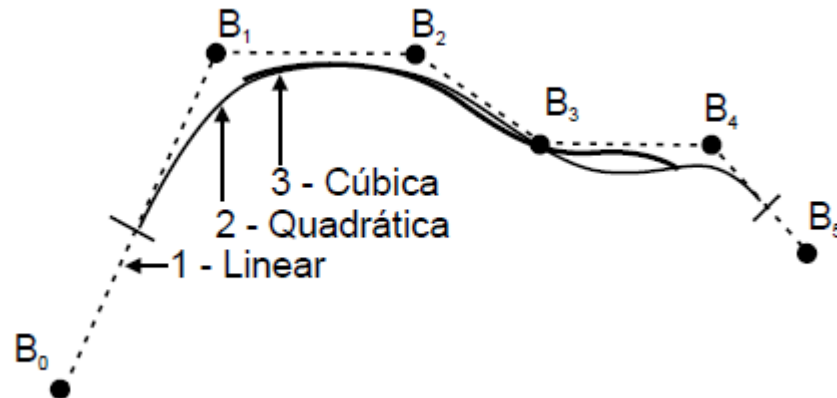
*Exemplo de interpolação de segunda ordem ($k-1=2$)
com três pontos ($n+1=3$)



B-Spline uniforme e periódica

$$*t = [-2 \ 0 \ 2 \ 4 \ 6]$$

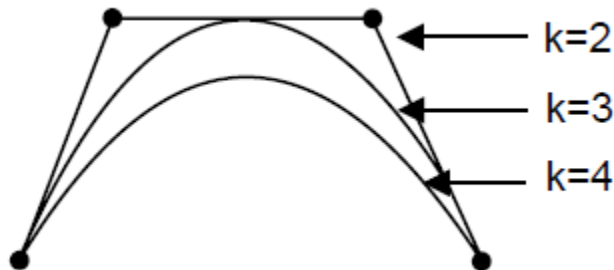
$$*t = [0 \ \frac{1}{4} \ \frac{1}{2} \ \frac{3}{4} \ 1]$$



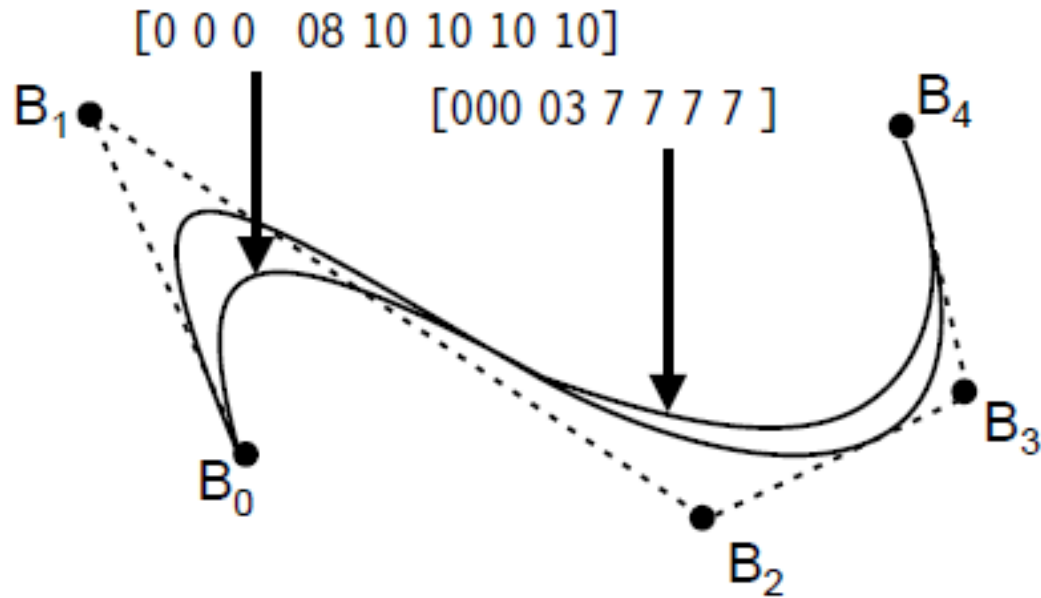
Splines não periódicas

- *Valores repetidos nos extremos com multiplicidade k
- *Nós internos igualmente espaçados

Ordem(k)	Nº de nós(m)	Vetor de nós não-periódicos
2	6	0 0 1 2 3 3
3	7	0 0 0 1 2 2 2
4	8	0 0 0 0 1 1 1 1

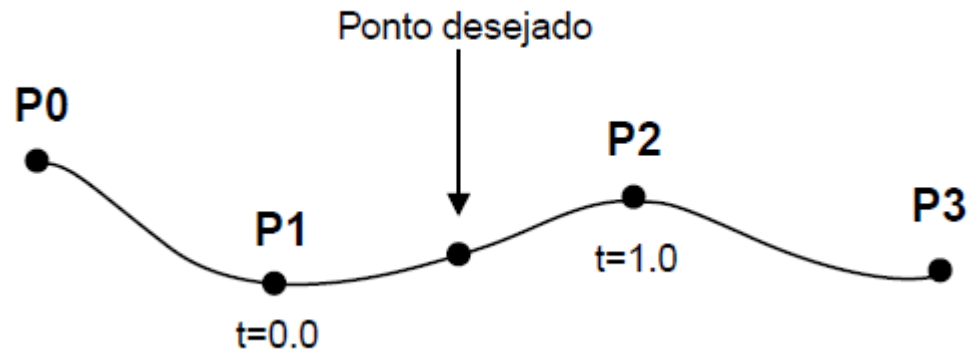


Splines não uniformes



Catmull-Rom Splines

- *Passa por todos os pontos de controle
- *Continuidade C1



$$q(t) = \frac{1}{2} \begin{bmatrix} t^3 & t^2 & t & 1 \end{bmatrix} * \begin{bmatrix} -1 & 3 & -3 & 1 \\ 2 & -5 & 4 & -1 \\ -1 & 0 & 1 & 0 \\ 0 & 2 & 0 & 0 \end{bmatrix} * \begin{bmatrix} P_0 \\ P_1 \\ P_2 \\ P_3 \end{bmatrix}$$

Curvas em OpenGL

*Curvas de Bézier

*glEnable(GL_MAP1_VERTEX_3);

*glMap1f(GL_MAP1_VERTEX_3, 0, 1, 3, 5, ctrlpoints);

*glEvalCoord1f(i);

Curvas em OpenGL

Valor final de u

Valor inicial de u

Ordem +1
(no. De pontos)

```
glMap1f(GL_MAP1_VERTEX_3, 0, 1, 3, 5, ctrlpoints);
```

Parameter	Significado
GL_MAP1_VERTEX_3	Coordenadas x, y, z de vértices
GL_MAP1_VERTEX_4	x, y, z, w vertex coordinates
GL_MAP1_COLOR_4 R, G, B, A	R, G, B, A
GL_MAP1_NORMAL	Coordenadas normais
GL_MAP1_TEXTURE_COORD_1	Coordenadas s de textura
GL_MAP1_TEXTURE_COORD_2	Coordenadas s, t de textura
GL_MAP1_TEXTURE_COORD_3	Coordenadas s, t, r de textura

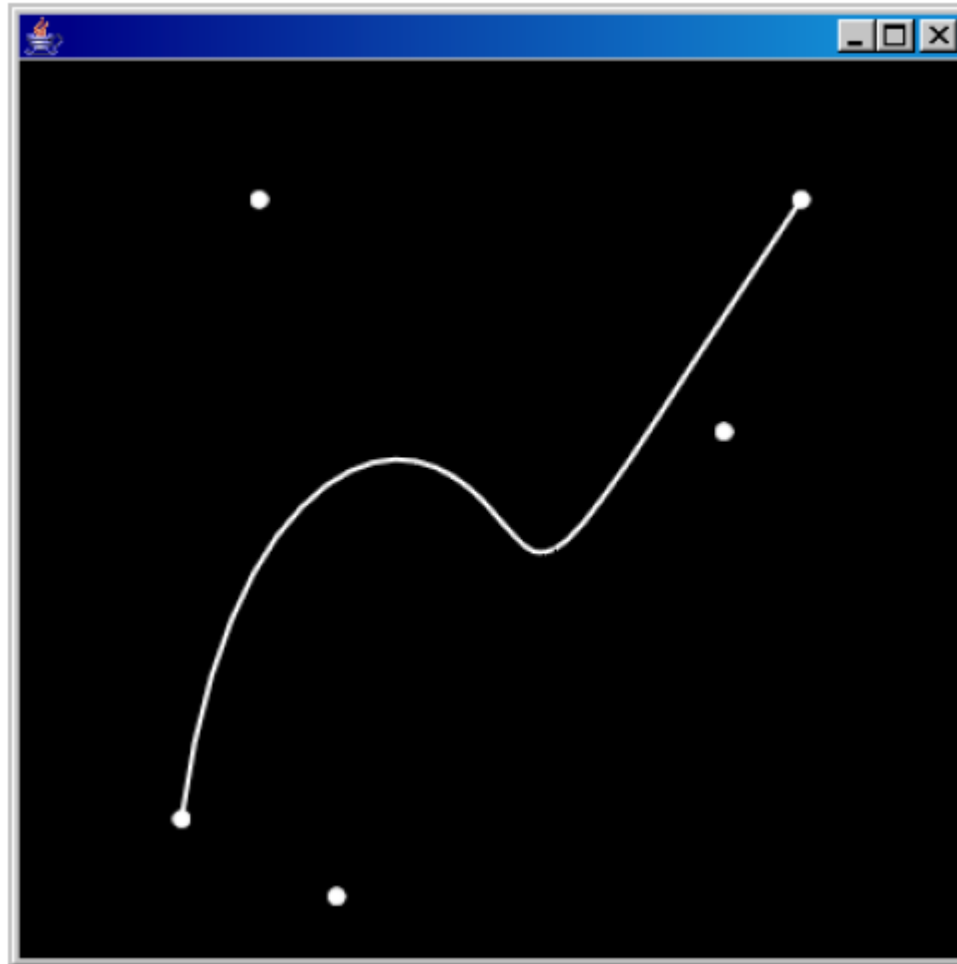
Vetor de pontos
de controle

```
float ctrlpoints[] =  
{-4,-4,0,  
-3,4,0,  
3,1,0,  
-2,-5,0,  
4,4,0};
```

Curvas em OpenGL

```
glBegin(GL_LINE_STRIP);  
for(i=0;i<=30;i++)  
    glEvalCoord1f(i/30);  
glEnd();
```

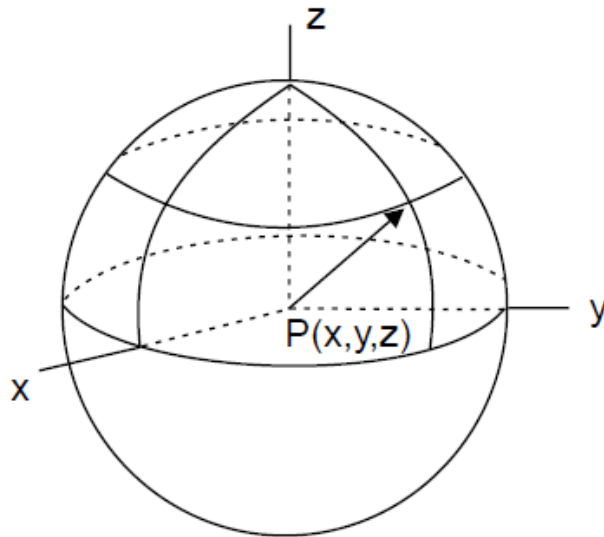

Curvas em OpenGL



Superfícies

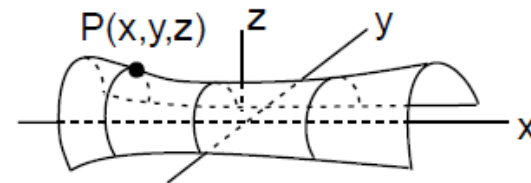
*Representações como em curvas

*Por pontos, paramétricas, etc.



Esfera com centro (x_0, y_0, z_0)

Equação: $(x-x_0)^2 + (y-y_0)^2 + (z-z_0)^2 = r^2$

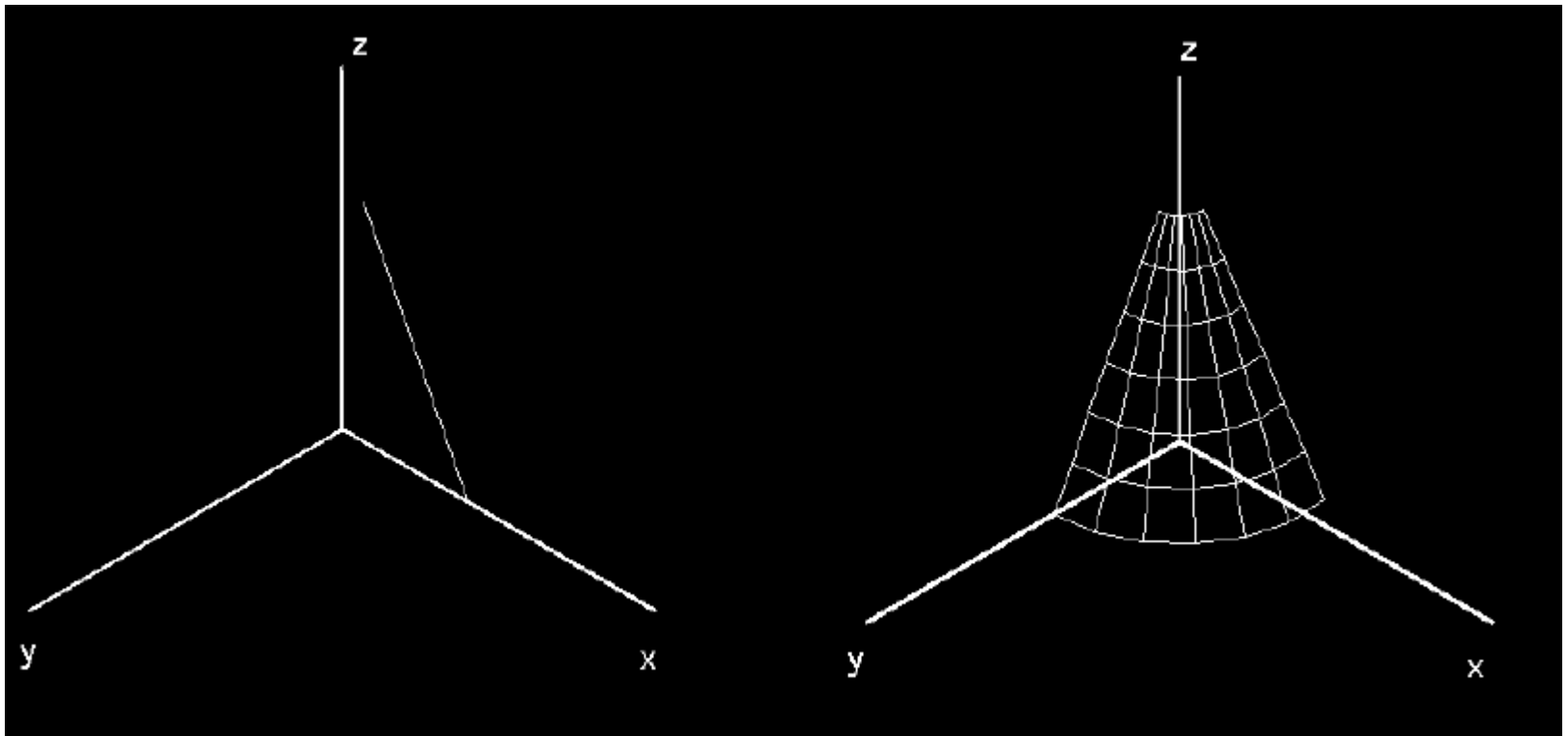


Parabolóide Hiperbólico

Equação: $\frac{x^2}{a^2} - \frac{y^2}{b^2} = \frac{z}{c}$

Superfícies por revolução

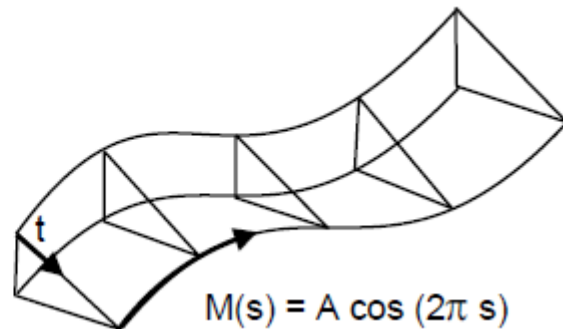
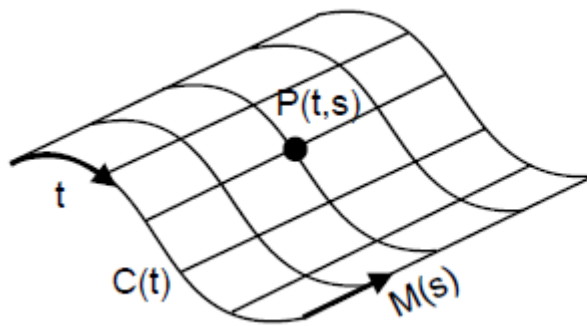
*O objeto que gera a superfície pode ser uma reta, ou curva qualquer.



Superfícies geradas por deslocamento

- *Curva a ser deslocada: $C(t)$
- *Caminho a ser percorrido: $M(s)$

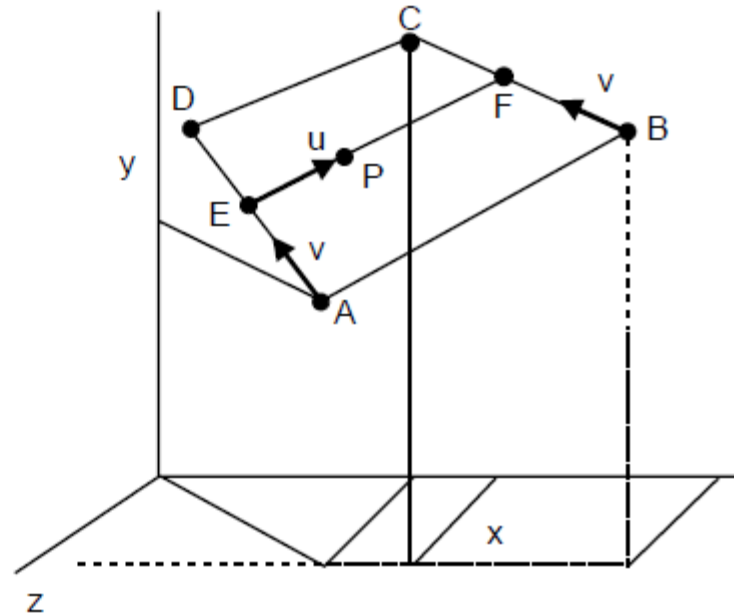
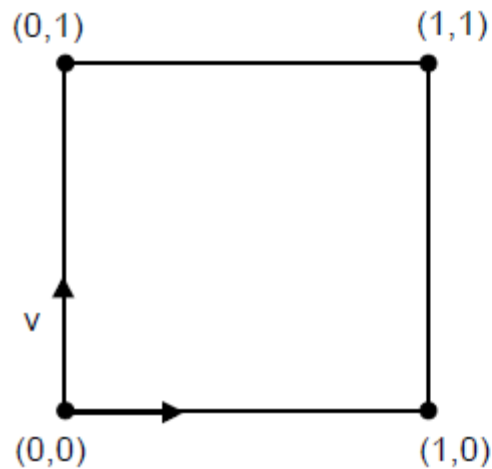
$$P(t, s) = C(t) \times M(s)$$



Interpolação bilinear

$$E = (1 - v) A + v D$$

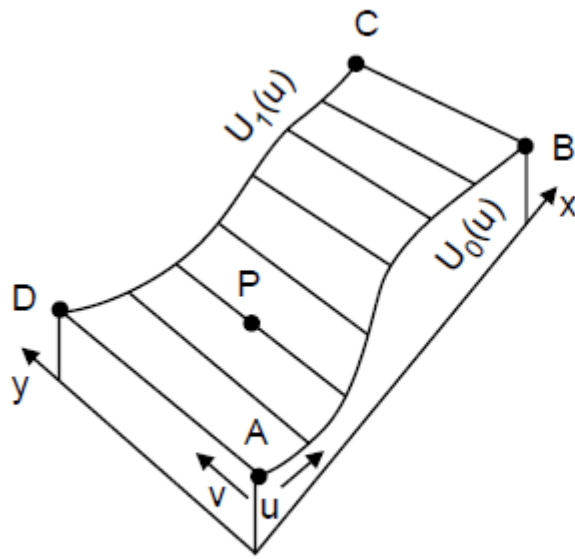
$$F = (1 - v) B + v C$$



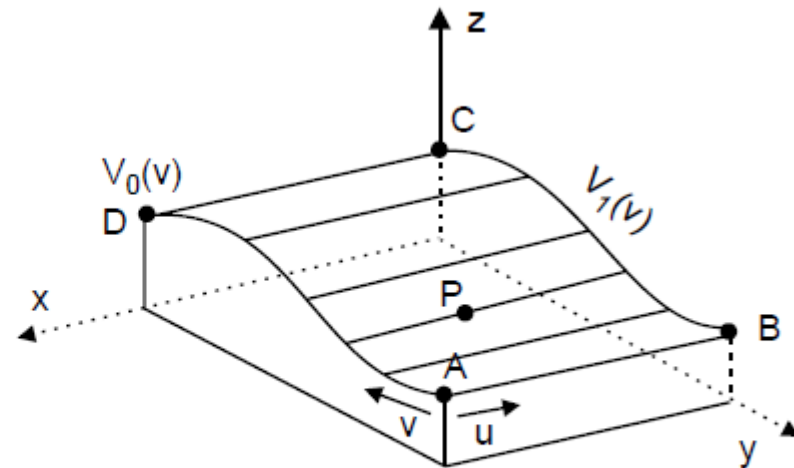
Interpolação bilinear

$$P(u,v) = (1 - u) E + u F$$

$$P(u,v) = (1 - u) (1 - v) A + (1 - u) v D + u (1 - v) B + u v C$$



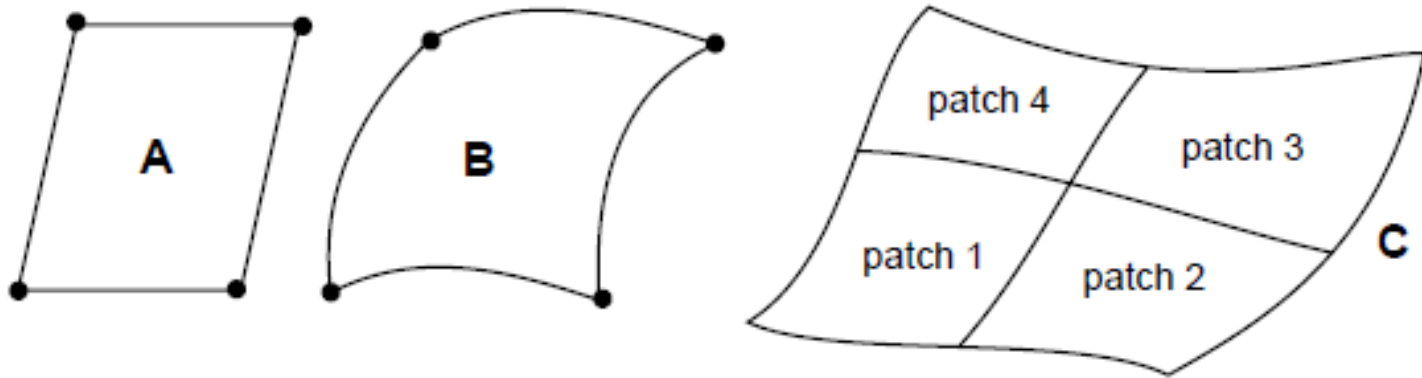
$$P(u,v) = (1-v) U_0(u) + v U_1(u)$$



$$P(u,v) = (1-u) V_0(v) + u V_1(v)$$

Superfícies Paramétricas Bicúbicas

$$P(u, v) = \sum_{i=0}^3 \sum_{j=0}^3 P_{ij} B_i(u) B_j(v)$$



Relembrando

*Curva Hermite

*Depende dos pontos e suas tangentes

$$x(t) = TC_x = TH \begin{bmatrix} P1 \\ P2 \\ T1 \\ T2 \end{bmatrix}_x = THG_x$$

$$y(t) = TC_y = TH \begin{bmatrix} P1 \\ P2 \\ T1 \\ T2 \end{bmatrix}_y = THG_y$$

$$z(t) = TC_z = TH \begin{bmatrix} P1 \\ P2 \\ T1 \\ T2 \end{bmatrix}_z = THG_z$$

Superfícies de Hermite

$$P(s,t) = S H G_h H^T T^T$$

$$G_h = \begin{bmatrix} P(0,0) & P(0,1) & \frac{\partial P}{\partial t}(0,0) & \frac{\partial P}{\partial t}(0,1) \\ P(1,0) & P(1,1) & \frac{\partial P}{\partial t}(1,0) & \frac{\partial P}{\partial t}(1,1) \\ \frac{\partial P}{\partial s}(0,0) & \frac{\partial P}{\partial s}(0,1) & \frac{\partial^2 P}{\partial s \partial t}(0,0) & \frac{\partial^2 P}{\partial s \partial t}(0,1) \\ \frac{\partial P}{\partial s}(1,0) & \frac{\partial P}{\partial s}(1,1) & \frac{\partial^2 P}{\partial s \partial t}(1,0) & \frac{\partial^2 P}{\partial s \partial t}(1,1) \end{bmatrix}$$

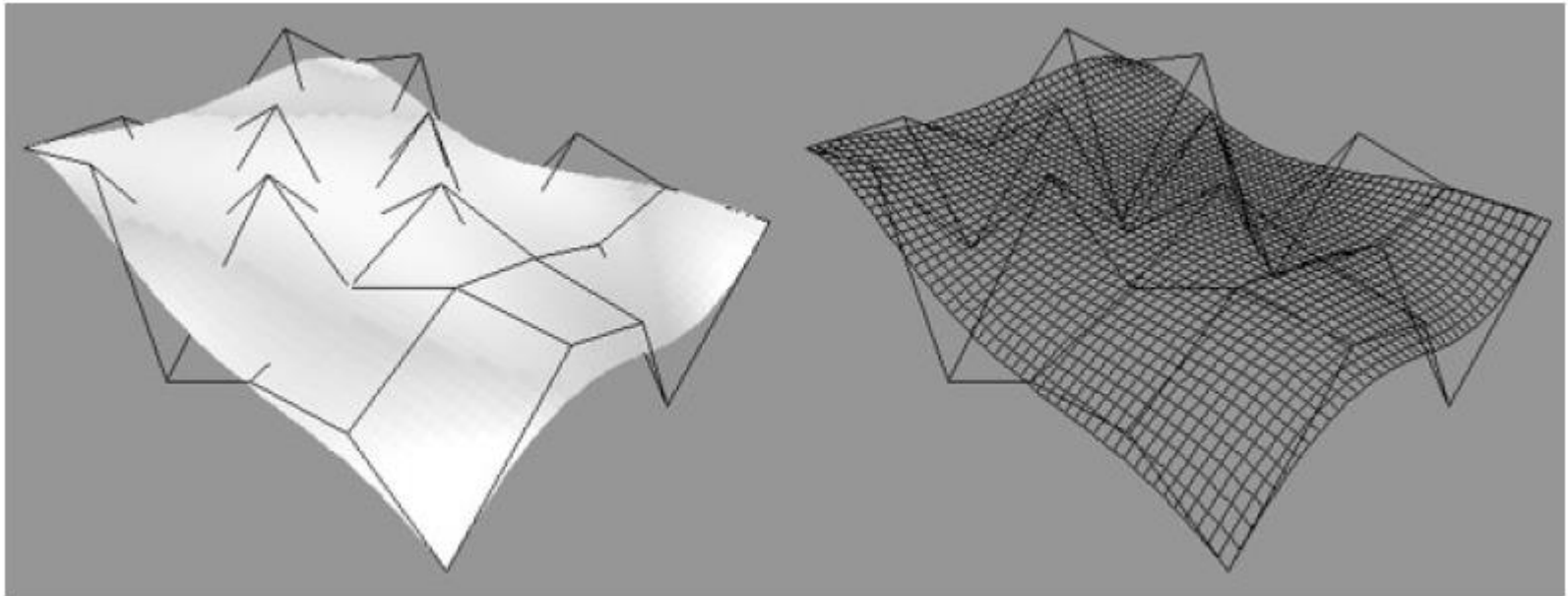
Superfícies de Bézier

$$P(s,t) = \sum_{i=0}^n \sum_{j=0}^m B_{i,j} J_{i,n}(s) J_{j,m}(t) \quad 0 \leq s,t \leq 1$$

$$P(s,t) = S M_B G_b M_B^T T^T,$$

$$M_B = \begin{bmatrix} -1 & 3 & -3 & 1 \\ 3 & -6 & 3 & 0 \\ -3 & 3 & 0 & 0 \\ 1 & 0 & 0 & 0 \end{bmatrix} \quad G_B = \begin{bmatrix} P_{0,0} & P_{0,1} & P_{0,2} & P_{0,3} \\ P_{1,0} & P_{1,1} & P_{1,2} & P_{1,3} \\ P_{2,0} & P_{2,1} & P_{2,2} & P_{2,3} \\ P_{3,0} & P_{3,1} & P_{3,2} & P_{3,3} \end{bmatrix}$$

Superfícies de Bézier



Superfícies B-Spline

$$P(s, t) = \sum_{i=0}^n \sum_{j=0}^m B_{i,j} N_{i,k}(s) N_{j,l}(t)$$

$$P(s, t) = S M_s G_s M_s^T T^T$$

$$M_s = \frac{1}{6} \begin{bmatrix} -1 & 3 & -3 & 1 \\ 3 & -6 & 3 & 0 \\ -3 & 0 & 3 & 0 \\ 1 & 4 & 1 & 0 \end{bmatrix}$$

Superfícies Racionais

P (s, t) =	Forma Inteira	Forma Racional
Bézier	$\sum_{i=0}^n \sum_{j=0}^m B_{i,j} J_{i,n}(s) J_{j,m}(t)$	$\frac{\sum_{i=0}^n \sum_{j=0}^m w_{i,j} B_{i,j} J_{i,n}(s) J_{j,m}(t)}{\sum_{i=0}^n \sum_{j=0}^m w_{i,j} J_{i,n}(s) J_{j,m}(t)}$
B-Spline	$\sum_{i=0}^n \sum_{j=0}^m B_{i,j} N_{i,k}(s) N_{j,l}(t)$	$\frac{\sum_{i=0}^n \sum_{j=0}^m w_{i,j} N_{i,k}(s) N_{j,l}(t) B_{i,j}}{\sum_{i=0}^n \sum_{j=0}^m w_{i,j} N_{i,k}(s) N_{j,l}(t)}$

NURBS

- *Non-Uniform Rational B-Splines Surfaces
- *Exclusivo para modelagem em computador
- *Geralmente grau 3
 - *Permite C2
- *Versátil pois pode representar superfícies diferentes
 - *Ex: $w_{i,j} = 1$

NURBS



NURBS em OpenGL

```
*Knots[8] = {0,0,0,0,1,1,1,1};
*float ctlPoints[4][4][3]={
*    {{-4, 4,0},{-2, 4, 0},{2, 4, 0},{4, 4, 0}},
*    {{-4, 2,0},{-2, 2,-H},{2, 2,H},{4, 2, 0}},
*    {{-4,-2,0},{-2,-2,-H},{2,-2,H},{4,-2, 0}},
*    {{-4,-4,0},{-2,-4, 0},{2,-4, 0},{4,-4, 0}}
*    };

* gluNurbsSurface(nurbSurface,
*    8,Knots,8,Knots,
*    4*3,3,&ctlPoints[0][0][0],
*    4,4,GL_MAP2_VERTEX_3);
* gluEndSurface(nurbSurface);
```


NURBS em OpenGL

```
* GLUnurbsObj *nurbSurface;  
  
*nurbSurface = gluNewNurbsRenderer();  
* gluNurbsProperty(nurbSurface, GLU_DISPLAY_MODE, GLU_FILL);  
  
* gluBeginSurface(nurbSurface);  
* gluNurbsSurface(nurbSurface,  
*      8, Knots, 8, Knots,  
*      4*3, 3, &ctlPoints[0][0][0],  
*      4, 4, GL_MAP2_VERTEX_3);  
* glEndSurface(nurbSurface);
```

Superfície Bézier em OpenGL

```
*glEnable(GL_MAP2_VERTEX_3);
*
*float ctlPoints[4][4][3]={
*    {{-4, 4,0},{-2, 4, 0},{2, 4, 0},{4, 4, 0}},
*    {{-4, 2,0},{-2, 2,-H},{2, 2,H},{4, 2, 0}},
*    {{-4,-2,0},{-2,-2,-H},{2,-2,H},{4,-2, 0}},
*    {{-4,-4,0},{-2,-4, 0},{2,-4, 0},{4,-4, 0}}
*    };

* glMap2f(GL_MAP2_VERTEX_3,
*         0, 1, 3, 4,
*         0, 1, 12, 4,
*         &ctlPoints[o][o][o]);
* glMapGrid2f(40, 0.0, 1.0, 40, 0.0, 1.0);
* glEvalMesh2(GL_FILL,0,40,0,40);
```